

Утверждено
решением Ученого Совета
физического факультета МГУ
от 26.12.2019 г.
Декан физического факультета МГУ
профессор Н.Н.Сысоев



Государственный экзамен по физике
Физический факультет МГУ им. М.В. Ломоносова
Магистерская программа
«Нейтронная физика и физика наносистем»

Билет № 1

1. Функция Лагранжа и уравнения Лагранжа системы материальных точек. Интегралы движения.
2. Формирование кристаллической структуры из изолированных атомов. Типы связи в твердых телах.
3. Для получения нейтронов широко используется реакция $t(d,n)\alpha$. Определить энергию нейтронов T_n , вылетающих под углом 90° в нейтронном генераторе, использующем дейтроны, ускоренные до энергии $T_d = 0.2$ МэВ.

Билет № 2

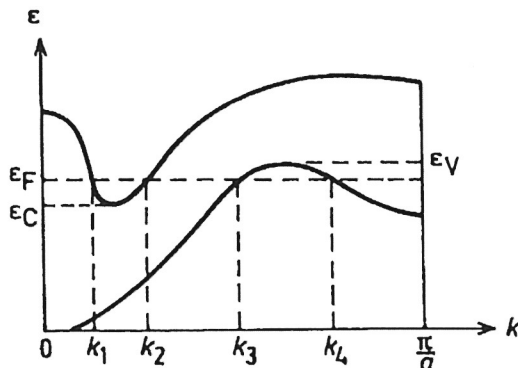
1. Колебания систем с одной и многими степенями свободы. Свободные и вынужденные колебания.
2. Теорема Блоха. Понятие квазимпульса. Зона Бриллюэна.
3. Вычислить относительную долю пространства, заполненного сферами, в следующих кристаллических структурах: простая кубическая структура, объемноцентрированная кубическая структура, гранецентрированная кубическая структура. Предполагается, что каждая из структур является плотной упаковкой, т.е. образована жесткими сферами одинакового радиуса, которые касаются друг друга.

Билет № 3

1. Движение в центральном поле. Атом водорода: волновые функции и уровни энергии.
2. Симметрия кристаллов. Базис и кристаллическая структура. Элементарная ячейка. Решетка Браве.
3. Для получения нейтронов используется реакция $^7\text{Li}(p,n)^7\text{Be}$. Энергия протонов $T_p = 5$ МэВ. Для эксперимента необходимы нейтроны с энергией $T_n = 1.75$ МэВ. Под каким углом θ_n относительно направления протонного пучка будут вылетать нейтроны с такой энергией?

Билет № 4

1. Течение идеальной жидкости. Уравнение Эйлера.
2. Колебания атомов в кристаллической решетке. Температура Дебая. Акустические и оптические фононы.
3. На рисунке представлена зависимость энергии ϵ от волнового вектора k для электронов в одномерном кристалле с периодом a . Обозначения: ϵ_F – уровень Ферми, ϵ_C – дно зоны проводимости, ϵ_V – вершина валентной зоны.



- (а) Если n – плотность числа электронов и p – плотность числа дырок, что можно сказать об отношении p/n ?
- (б) В элементарной ячейке этого вещества содержится четное или нечетное число электронов проводимости? Ответ аргументировать.
- (в) Чья эффективная масса больше – электронов или дырок? Ответ аргументировать. Подтвердить расчетом (используя квадратичную аппроксимацию).

Билет № 5

1. Течение вязкой жидкости. Уравнение Навье-Стокса. Число Рейнольдса.
2. Формирование зонного спектра. Эффективная масса. Энергия Ферми и поверхность Ферми.
3. Дифференциальное сечение ядерной реакции $d\sigma/d\Omega$ под углом 90° составляет 10 мб/ср . Рассчитать величину интегрального сечения, если угловая зависимость дифференциального сечения имеет вид $1+2\sin\theta$.

Билет № 6

1. Механизмы ядерных реакций. Модель составного ядра. Прямые процессы.
2. Методы исследования структуры твердых тел. Рентгеновская дифракция. Дифракция нейтронов.
3. Для измерения магнитных полей $B \approx 0.1 \text{ кГс}$ используют метод ЯМР ^1H в проточной воде, при котором вода предварительно намагничивается пропусканием ее через область магнитного поля $B_0 = 10 \text{ кГс}$. Время перемещения воды из этой области до измерительной ячейки намного меньше времени релаксации намагниченности. Оценить увеличение сигнала ЯМР ^1H в намагниченной воде по сравнению с сигналом для немагнитной воды. Ответ аргументировать.

Билет № 7

1. Борновское приближение. Парциальное разложение амплитуды рассеяния.
2. Ядерный магнитный резонанс и ядерный квадрупольный резонанс.
3. Структура гидрида ванадия VH_2 имеет гранецентрированную решетку с периодом $a=4.24 \text{ \AA}$. Определить брэгговские углы θ для отражений (100), (200) и (300) при дифракции нейтронов с длиной волны $\lambda=1.542 \text{ \AA}$. Значения когерентного рассеяния нейтронов для ванадия (0.01838 бн) и водорода (1.7568 бн).

Билет № 8

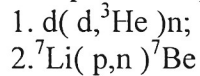
1. Канонические распределения. Идеальные бозе- и ферми-газы.
2. Методы исследования поверхности твердых тел. Сканирующая тунNELьная микроскопия. Атомно-силовая микроскопия.
3. Пучок электронов с энергией 1 кэВ испытывает дифракцию на плоскостях с межплоскостным расстоянием $d=1\text{\AA}$ при прохождении через поликристаллическую металлическую фольгу. (а) Определить длину волны электронов. (б) Определить брэгговский угол для дифракционного максимума первого порядка.

При вычислениях использовать следующие значения констант:

$$h=6.626 \cdot 10^{-34} \text{ дж сек}; m_e=9.11 \cdot 10^{-31} \text{ кг}; 1 \text{ эВ}=1.602 \cdot 10^{-19} \text{ дж.}$$

Билет № 9

1. Реальные газы. Уравнение Ван-дер-Ваальса.
2. Эффект Мессбауэра. Мессбауэровская спектроскопия твердых тел. Влияние локального окружения на мессбауэровские спектры.
3. Рассчитать энергии и пороги следующих реакций:



Избытки масс приближенно равны (МэВ): $p - 7.29$; $n - 8.07$; $d - 13.14$; ${}^3\text{He} - 14.93$; ${}^7\text{Li} - 14.91$ и ${}^7\text{Be} - 15.77$.

Билет № 10

1. Фазовые переходы первого и второго рода. Условия устойчивости и равновесия.
2. Электрические и гальваномагнитные явления в двумерных структурах. Квантовый эффект Холла.
3. Рассеяние медленных ($T_n = 1 \text{ кэВ}$) нейтронов на ядре ${}^{238}\text{U}$ изотропно. Как можно объяснить этот факт?

Билет № 11

1. Уравнение Максвелла в вакууме. Скалярный и векторный потенциалы. Калибровочная инвариантность. Энергия электромагнитного поля. Вектор Пойнтинга
2. Неупорядоченные среды. Ближний и дальний порядок. Прыжковая проводимость. Закон Мотта. Щель подвижности.
3. Оценить энергию падающего пучка (а) фотонов и (б) нейтронов, при которой будет наблюдаться отчетливая дифракционная картина от кристалла (Типичный период кристаллической решетки принять равным 1 Å.)
При вычислениях использовать следующие значения констант:
 $h=6.626 \cdot 10^{-34} \text{ дж сек}$; $m_n=1.675 \cdot 10^{-27} \text{ кг}$; $1 \text{ эВ}=1.602 \cdot 10^{-19} \text{ дж}$.

Билет № 12

1. Уравнения Максвелла в среде. Материальные уравнения. Комплексная диэлектрическая проницаемость и показатель преломления, их пространственная и временная дисперсия.
2. Сверхпроводимость. Эффект Мейсснера. Сверхпроводники 1-го и 2-го рода. Основные идеи теории Бардина-Купера-Шриффера
3. Для газа свободных электронов плотностью n (n электронов в единице объема),

$$\text{вывести выражение } \epsilon(\omega) = 1 - \frac{\omega_p^2}{\omega^2}, \quad \omega_p^2 = \frac{ne^2}{\epsilon_0 m} \quad \text{для диэлектрической}$$

проницаемости как функции ω .

Билет № 13

1. Прохождение частиц через потенциальный барьер. Туннельный эффект.
2. Магнитные свойства веществ. Диамagnetизм и парамагнетизм. Гиромагнитное отношение. Закон Кюри и закон Кюри-Вейсса.
3. Для металлического натрия с ОЦК структурой ($a=4.25 \text{ \AA}$) определить концентрацию электронов проводимости, предполагая один электрон проводимости на атом. В рамках модели свободных электронов получить выражение для энергии Ферми при $T=0 \text{ K}$, и рассчитать её для электронов проводимости металлического натрия.
При вычислениях использовать следующие значения констант:
 $h=6.626 \cdot 10^{-34} \text{ дж сек}$; $m_e=9.11 \cdot 10^{-31} \text{ кг}$; $1 \text{ эВ}=1.602 \cdot 10^{-19} \text{ дж}$.

Билет № 14

1. Основы физики молекул. Адиабатическое приближение. Термы двухатомной молекулы. Типы химической связи.
2. Простейшие модели ядра: модель жидкой капли, модель ферми-газа, оболочечная модель, обобщенная модель.
3. Для линейного ионного кристалла из $2N$ ионов с чередующимися зарядами $\pm q$ и отталкивающим потенциалом между ближайшими соседями A/R^n , в дополнение к обычному кулоновскому потенциалу, определить равновесное расстояние R_0 между ионами и равновесную энергию $U(R_0)$

Билет №15.

1. Дисперсия и поглощение света. Отражение и преломление на границах двух сред. Рассеяние света. Формула Рэлея.
2. Основные свойства ядер. Квантовые характеристики ядерных состояний
3. Оценить намагниченность M монокристалла железа, если бы он полностью спонтанно намагнился. Для справки: Железо (атомный номер $A=56$) имеет ОЦК структуру с параметром элементарной ячейки $a=2.86 \text{ \AA}$, магнитный момент иона железа $\mu_0 \approx 2.2\mu_B$ ($\mu_B = 9.27 \cdot 10^{-24} \text{ Дж} \cdot \text{тл}^{-1}$ – магнетон Бора), плотность железа $\rho = 7.9 \text{ г/см}^3$. Ответ дать в системе СИ.

Билет №16.

1. Циклотронное и синхротронное излучение. Рассеяние электромагнитных волн на свободных электронах.
2. Деление тяжелых ядер нейтронами. Цепная реакция деления. Ядерные реакторы как источники нейтронов. Другие источники нейтронов.
3. Данна двумерная квадратная решетка с параметром a и одним атомом массой m в узле, взаимодействующим только с ближайшими соседями с силовой константой K . Примем, что фононная дисперсионная кривая описывается функцией $\omega_q = \sqrt{\frac{4K}{m}} \sin\left(\frac{qa}{2}\right)$. Определить, в длинноволновом пределе (звук), плотность фононных состояний $D(\omega) = dN/d\omega$, т.е. число решеточных колебательных (акустических) мод в интервале $d\omega$.

Билет №17.

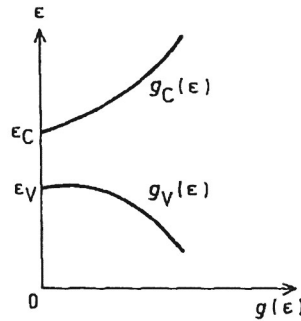
1. Многоэлектронный атом. Приближение самосогласованного поля.
2. Основные свойства нуклонов. Основные свойства ядерного взаимодействия между нуклонами.
3. В двумерной квадратной решетке с периодом a кинетическая энергия свободного электрона в узле первой зоны Бриллюэна больше, чем у электрона на середине грани зоны на коэффициент b . Определить b .

Билет №18.

1. Основные постулаты квантовой механики. Волновая функция, операторы физических величин. Принцип неопределенности.
2. Э
3. Ядерные реакции и их основные характеристики. (Законы сохранения, энергия и порог реакции, сечения.)
4. Оценить намагниченность M монокристалла железа, если бы он полностью спонтанно намагнился. Для справки: Железо (атомный номер $A=56$) имеет ОЦК структуру с параметром элементарной ячейки $a=2.86 \text{ \AA}$, магнитный момент иона железа $\mu_0 \approx 2.2\mu_B$ ($\mu_B = 9.27 \cdot 10^{-24} \text{ Дж} \cdot \text{тл}^{-1}$ – магнетон Бора), плотность железа $\rho = 7.9 \text{ г/см}^3$. Ответ дать в системе СИ.

Билет №19.

1. Уравнения Гейзенберга и Шредингера. Стационарные состояния.
2. Детектирование заряженных и нейтральных частиц и гамма-квантов. Основные типы детекторов.
3. Рассмотрим собственный полупроводник. Пусть ε – энергия электрона, $g_C(\varepsilon)$ – плотность состояний в зоне проводимости, $g_V(\varepsilon)$ – плотность состояний в валентной зоне (см. рисунок)



Предположим, что $\varepsilon_C - \varepsilon_F \gg k_B T$, $\varepsilon_F - \varepsilon_V \gg k_B T$ (k_B – постоянная Больцмана, T – температура полупроводника) и

$$g_C(\varepsilon) = C_1 (\varepsilon - \varepsilon_C)^{1/2}$$

$$g_V(\varepsilon) = C_2 (\varepsilon_V - \varepsilon)^{1/2}$$

где ε_C – энергия дна зоны проводимости и ε_V – энергия вершины валентной зоны. Энергию Ферми обозначим как ε_F . (а) Найти выражение для n – числа электронов в зоне проводимости, через $\varepsilon_C, \varepsilon_F, k_B, T, C_1$ и безразмерный определенный интеграл. (б) Найти выражение для p – числа дырок в валентной зоне, через $\varepsilon_V, \varepsilon_F, k_B, T, C_2$ и безразмерный определенный интеграл. (в) Найти явное выражение для $\varepsilon_F(T)$.

Билет №20.

1. Стандартная модель: фундаментальные частицы и фундаментальные взаимодействия.
2. Понятие об обменном взаимодействии. Обменный интеграл. Ферромагнетизм. Магнитные домены. Антиферромагнетизм.
3. Для газа свободных электронов в металле (электроны не взаимодействуют между собой и с решеткой металла) вывести известную формулу для плотности электронных состояний на поверхности Ферми $\rho(\varepsilon_F) = C\sqrt{\varepsilon_F}$, где $C = \frac{V}{2\pi^2} \left(\frac{2m}{\eta^2}\right)^{\frac{3}{2}}$, V – объем металла.